

## تأثير الكرافيت على مقاومة البلي لسيبيكه المنيوم - سيليكون

أسميل هادي حمزة

عمر جبار بدر

سعد حميد نجم

جامعة بابل - كلية الهندسة

جامعة القادسية - كلية الهندسة

جامعة بابل - كلية الهندسة

قسم هندسة المواد

قسم الهندسة الميكانيكية

قسم هندسة المواد

### الخلاصة:

يتضمن البحث دراسة تأثير الكرافيت على مقاومة البلي لسيبيكه المنيوم - سيليكون ، إذ تم تحضير هذه السبيكة (السبيكه الأساس) باستخدام طريقة السباكة بالمزج ثم إضافة دقائق الكرافيت بنسبة وزنية مقدارها (5.5%) باستخدام تقنية التحرير بتكوين دوامة (Vortex Technique) . بعدها تم صب السبيكة الأساس والمادة المتراكبة في قوالب معدنية وتحضيرها لاختبار البلي الانزلاقي حيث تم إجراء الاختبار تحت ظروف مختلفة من الحمل المسلط ومسافة الانزلاق وخشونة السطح عند درجة حرارة الغرفة. من النتائج لوحظ إن معدل البلي يزداد في حالة زيادة أي من الظروف أعلاه وكذلك فان المادة المتراكبة تبدي مقاومة بلى أعلى منها في حالة السبيكة الأساسية.

**الكلمات الرئيسية:** معدل البلي ، كرافيت ، سبيكة المنيوم- سيليكون ، مواد متراكبة.

## EFFECT OF GRAPHITE ON WEAR RESISTANCE OF ALUMINUM-SILICON ALLOY

Saad Hameed Najem  
Babylon University  
Materials Department

Amar Jabar Badr  
Alqadisiya University  
Mechanical Department

Aseel Hadi Hamza  
Babylon University  
Materials Department

### Abstract

This research deals with studying the effect of graphite on the wear resistance of aluminum – silicon alloy. Firstly this alloy (master alloy) is prepared using casting method then graphite particles added in weight ratio (5.5 %) by using vortex technique after that the master alloy and composite material casted in dies and prepared for sliding wear test , wear test was made under different conditions of applied load , sliding distance and surface roughness at the room temperature. The results show that wear rate increases with increasing any of the above conditions, also the composite material show higher resistance wear than of master alloy.

**Nomenclature:**

$\rho$	= كثافة العينة $\text{gm}/\text{cm}^3$
$M$	= كتلة العينة في الهواء $\text{gm}$
$V_1$	= حجم الماء بوجود العينة $\text{cm}^3$
$V_2$	= حجم الماء بدون العينة $\text{cm}^3$
$\Delta M$	= التغيير في الكتلة $\text{gm}$
$\rho$	= كثافة المادة المستخدمة $\text{gm}/\text{cm}^3$
$A$	= مساحة التماس الحقيقة $\text{cm}^2$
$L$	= مسافة الانزلاق $\text{cm}$

**المقدمة: Introduction**

تتطلب العديد من التطبيقات الهندسية مواد ذات مواصفات خاصة لا يمكن الحصول عليها من أصناف المواد الأساسية، لذا برزت الحاجة إلى إنتاج مواد تمتاز بدمج جيد بين طورين محددين أو أكثر وتمتلك خواص تختلف عن مكوناتها تعرف بالمواد المتراكبة [Smallman and Bishop, 1999].

إن المواد المتراكبة ذات الأساس المعدني (MMC) والمقاومة بدفائق سيراميكية أو معدنية أصبحت ذات استخدامات واسعة جدا ، وذلك بسبب معامل المرونة العالي ، مقاومة البلى والشد المرتفعة . كذلك دخلت هذه المتراكبات كبدائل للمواد المعدنية أو السبائك التقليدية في العديد من التطبيقات الخاصة. ولقد اتصفت المتراكبات ذات الأساس من الألمنيوم على وجه التحديد بمقاومة بلى عالية ومعامل احتكاك واطئ مع زيادة الكسر الحجمي لدقائق التقوية ، مقارنة مع سبائك الألمنيوم بدون تقوية. إن السلوك الترايبولوجي لهذه المتراكبات دقيق من قبل العديد من الباحثين وهناك العديد من الأعمال بهذا الجانب . ومع ذلك فإن أغلب الأدبيات التي تخص المتراكبات ذات الأساس من الألمنيوم تركز فقط على تجانس المواد (انتظام توزيع مادة التقوية ) [ Bolton , 2002].

لقد عمل الباحثين على إنتاج متراكبات ذات أساس من الألمنيوم المضمن بدفائق من الكرافيت والتي تمثل كمزيت صلب . هذه المواد تمتلك مقاومة بلى ممتازة مما جعل منها بديل ناجح لسبائك(الألمنيوم سليكون ) وسبائك النحاس وبقية المواد. إن مسبوكات متراكبات الألمنيوم - كرافيت أنتجت لغرض الاستخدام كمحامل في مكان الديزل والجلبة bush وزعانف المضخات pump impeller. وهناك عدة طرق من أجل تضمين دفائق الكرافيت في منصهر سبيكة الألمنيوم لغرض التغلب على قابلية الترطيب الرديئة من الألمنيوم والكرافيت والتي يمكن أن تسبب برفض تام للكرافيت . سابقا، الطريقة الرئيسية كانت هي طلاء سطح دفائق الكرافيت بالمعدن . حيث أن مبدأ هذه الطريقة يعتمد على الترطيب بين معدن الطلاء مع الألمنيوم . وأستخدم معدن النيكل ومعدن النحاس كمعدن طلاء للكرافيت لتحسين قابلية الترطيب ، وهذه الطريقة تتصرف بتضمين ناجح لمسحوق الكرافيت بالمنصهر.[ Kaw,2006.]

وبالرغم من استخدام الطلاء بالنikel أو النحاس فقد لجأ الباحثون إلى استخدام الخلط (stirring) لتضمين كمية لا بأس بها من دقائق الكرافيت ضمن السبيكة [Joues, 1975]. وبسبب الصفات الجيدة لخواص الحك والاحتكاك لهذه المتراكيبات . فهناك توجه في السنوات الأخيرة لإنتاج هذه المتراكيبات بطرق السباكة التقليدية لغرض خفض كلف إنتاجها وبالتالي زيادة استخدامها بميادين الصناعة الواسعة [Budinski and Budinski, 2005]. الهدف من البحث الحالي هو دراسة تأثير الكرافيت على مقاومة البلي لسبيكة الألミニوم - سيليكون.

## الجانب العملي: Experimental work

تحضير السبيكة الأساسية والمادة المتراكبة

تحضير السبيكة الأساسية

تم تحضير سبيكة الألミニوم الأساسية (Master alloy) المستخدمة في هذا البحث ، وهي سبيكة (Al – 7.4% Si – 1% Mg) إذ تم صهر حوالي (4.3 Kg) من الألミニوم النقى (99.99%) في فرن كهربائي تصل درجة حرارته إلى (1200 C°) باستخدام بودقة من الألو مينا سعتها (7 Kg) وعند درجة حرارة (750 C°) ويتم خلط المعدن لغرض المجانسة باستخدام خلاط ذو سرع مختلفة (108 – 1260) دورة/ دقيقة ، وعند ضمان انصهار الألミニوم تم وضع قطع صغيرة من السيليكون والمغنيسيوم كل على جانب داخل رقائق من الألミニوم بنقاوة (99.99%) وإضافتها حسب النسبة المحددة في مركز الدوامة التي يكونها المازج أثناء عملية الخلط ثم يستمر الخلط والمزج لمدة (3 – 5) دقائق بعدها يتم صب المعدن المنصهر في قالب من الصلب .

تهيئة الكرافيت

قبل إضافة الكرافيت إلى السبيكة الأساسية تم طلاءه بالنحاس وعملية الطلاء تمت على الشكل الآتي

:[Electroplating Engineering Handbook, Vol.14, published by CBS, 1987.]

إذابة (13.8 gm)، (69.2 gm) من كبريتات النحاس المائية وطرطرات الصوديوم (ملح روشنل) (وهيدروكسيد الصوديوم على التوالي في كمية من الماء المقطر كلا على جانب ثم تمزج المحاليل أعلى بشكل جيد بعدها يتم إضافة (40 ml) من مادة الفورمالدهايد إلى المزيج الناتج ثم تضاف كمية من الماء المقطر إلى المزيج بحيث يكون الناتج النهائي للماء المقطر لتر واحد. بعد ذلك تم إضافة (75gm) من الكرافيت ذو الحجم الحبيبي (63-105) مايكرون إلى الخليط أعلى وتم الخلط باستمرار لمدة ساعة كاملة لضمان تجانس ترسيب النحاس على دقائق الكرافيت والعملية تمت بدرجة حرارة الغرفة. بعدها تم ترشيح المواد من خلل ورق ترشيح وأخذت العجينة الناتجة وتم تجفيفها في فرن كهربائي بدرجة 50°C لمدة 12 ساعة.

**تحضير المادة المتراكبة**

بعد تحضير السبيكة الأساسية تم تقطيعها بأوزان مختلفة وقد تم صهر حوالي (4.5 Kg) من السبيكة الأساسية في منظومة الصهر عند درجة الحرارة (750°C) وتم خلط المعدن المنصهر باستخدام الخلط الذي يدور بسرعة (420 rpm) لحين الوصول إلى الحالة شبه الصلبة الخاصة بالسبائك وهي بحدود (630°C) والتي تم تحديدها حسب مخطط التوازن الحراري لسبائك المنيوم - سيليكون [Metals Handbook, Vol. 8 American Society for metals, Metals Park, Ohio, 1973.] تم بعدها إضافة دقائق الكرافيت والتي تم تسخينها مسبقاً إلى (400°C) لغرض التخلص من الرطوبة الموجودة على سطح الدقائق وبنسبة وزنية مقدارها (5.5 %) بعد ذلك تم رفع درجة حرارة الفرن إلى (800°C) ولمدة (20 min.) وأجريت عملية الخلط قبل الصب لضمان الحصول على توزيع منتظم ومتجانس لدقائق الكرافيت في المادة المتراكبة وتمت عملية الصب في قالب معدني تم تسخينه مسبقاً إلى (250°C).

**تحضير العينات**

بعد تحضير كلاً من السبيكة الأساسية والمادة المتراكبة تم تقطيعها للحصول على العينات اللازمة ومن ثم إجراء الاختبارات عليها. ومن الجدير بالذكر إن أبعاد عينات اختبار البلي هي ذاتها التي استخدمت للفحص المجهرى ولحساب الكثافة حيث كانت العينات اسطوانية بقطر (5mm) وطول (10mm) ] Elmadi and Alpas, (2006).[ بعد ذلك تم تحضير سطح العينات قبل إجراء الاختبار عليها وتضمن التحضير عملية التعيم باستخدام ورق من كاربيد السيليكون ذي تدرجات (220 ، 400 ، 600 ، 1000 ، 1200) بعدها أجريت عملية الصقل لعينات الفحص المجهرى فقط واستخدم في العملية مسحوق الألومينا والماء كما أجريت عملية الغسل والتغليف بالهواء الساخن بين كل عملية تعيم أو صقل وأخرى أما لعملية الإظهار فقد استخدم محلول - Graff Sargent والمكون من [84 ml H<sub>2</sub>O , 15 ml HNO<sub>3</sub> , 0.5 ml HF , and 3 gm CrO<sub>3</sub> .

**حساب كثافة العينات**

حسبت كثافة العينات المنتجة في البحث عن طريق قياس الوزن بواسطة ميزان الكترونى حساس Sartorius BP 301 (±1mg) يعمل بدقة (±1mg) واستخدم الماء المقطر كوسيلط سائل داخل اسطوانة زجاجية مدرجة ذات سعة (100 ml). وحسبت الكثافة عملياً من خلال المعادلة الآتية [Al-Ammar, 2008] :

$$\rho = \frac{M}{V_1 - V_2} \quad (1)$$

**الفحص بالمجهر الضوئي**

للغرض إجراء التصوير بالمجهر الضوئي فقد حضرت العينات كما ذكرنا سابقاً وتم تصويرها باستخدام مجهر ضوئي صيني الصنع بقوة تكبير (400X) والشكل (1) يوضح البنية المجهرية لكل من السبيكة الأساسية والمادة المتراكبة.

قياس خشونة سطح العينات

بعد أن تم إجراء عملية التنعيم للعينات باستخدام ورق تنعيم مختلف الدرجات تم قياس خشونة سطح العينات وسطح القرص المستخدم باستخدام جهاز قياس الخشونة (Taylor Hobson) دنماركي الصنع وتم قياس الخشونة بمعدل ثلاث قراءات للعينة الواحدة واخذ متوسط الخشونة لهذه القراءات.

قياس معدل البلي

نفذ اختبار البلي الانزلاقي الجاف باستخدام تقنية التغيير بالكتلة كأساس لقياس حيث تم عمل المصفوفة بين معدل البلي من جهة والحمل المسلط ومسافة الانزلاق والخشونة السطحية من جهة أخرى وبالاعتماد على المعادلة الآتية [ Ivkragelsky, Dobyehin, Vskombalov, 1982. ]:

$$\text{Wear Rate} = \frac{\Delta M}{\rho LA} \quad (2)$$

واستخدم لهذا الاختبار جهاز قياس البلي الانزلاقي ذي ترتيبة المسamar إلى القرص (Pin-on-Disk) والمصمم طبقاً للمواصفات (ASTM) لغرض الحصول على حالة التلامس مابين العينة والقرص الدوار تحت تأثير حمل عمودي ، ويكون الجهاز من محرك ذي سرعة دورانية ثابتة (1370 rpm) وتتم عملية نقل الحركة من المحرك إلى القرص على مرحلتين ، المرحلة الأولى يتم فيها نقل الحركة من المحرك بواسطة البكرة التي تم تثبيتها عليه وحزام ناقل للحركة نوع (V-Belt) إلى العمود الوسطي الذي ثبتت عليه بكرتان احدهما لاستلام الحركة والأخرى لنقلها ، أما المرحلة الثانية فتتضمن نقل الحركة من العمود الوسطي إلى العمود المثبت على القرص . هذا بالإضافة إلى إن الجهاز يحتوي على ذراع ذي مقطع مستطيل في نهايته ماسك (holder) لثبيت العينة فيه علماً إن قطر الماسك حوالي (5.5 mm) .

النتائج والمناقشة : Result and Discussionقابلية الترطيب

لتحسين قابلية الترطيب بين السبيكة الألمنيوم والكرافيت استخدمت ثلاثة طرق مختلفة وهي تسخين حبيبات الكرافيت وطلاء الكرافيت بالتحاس وإضافة المغنيسيوم. في حالة عدم تسخين الكرافيت فإن كثيراً منه يبقى على سطح السبيكة المنصهرة والذي بدوره يكون عائقاً رئيسياً في تقدم بقية حبيبات الكرافيت إلى داخل المنصهر وعليه تم تسخين الكرافيت إلى (400°C) ولمدة ساعة واحدة [ Krishnan, Surappa and Rohatgi, (1981) ]

طلاء حبيبات الكرافيت فإنها تضمن دخول هذه الحبيبات وتوزيعها بشكل أفضل مما لو لم تتم عملية الطلاء [ Wu and Beech, (1990). ]. أما بالنسبة لإضافة المغنيسيوم فإنه يستخدم لتقليل الشد السطحي لسبائك الألمنيوم ويعتبر المغنيسيوم مادة مفضلة لأنه رخيص الثمن ومتوفّر والمعرف عن المغنيسيوم بأنه يحسن قابلية الترطيب لأن الشد السطحي له أقل من الألمنيوم النقي فالشد السطحي للمغنيسيوم (559 mN/M) أما للألمنيوم (760 mN/M) عند درجة الانصهار كذلك فإن المغنيسيوم للألمنيوم المنصهر يقلل زاوية التماس مع الكرافيت مقارنة مع الألمنيوم لوحده مع الكرافيت [ Delanny, Froyen and Derruyttere, (1987) ].

**كثافة العينات**

كثافة السبيكة الأساسية كانت بحدود ( $2.74 \text{ gm/cm}^3$ ) أما المادة المتراكبة فقد أبدت انخفاضاً في قيمة الكثافة ، إذ بلغ هذا الانخفاض حوالي (5%) من كثافة السبيكة الأساسية. ويمكن أن يعزى هذا النقصان إلى وجود الكرافيت في [ Ashby and Jones, 2007.].

**تأثير الحمل المسلط على معدل البلي**

يلاحظ من الشكل (2) إن معدل البلي يتغير بشكل طردي مع الحمل المسلط وكلما زاد الحمل زاد ميل المنحنى حيث يحصل انتشار وتوزيع الحمل على العينة وان انتقال تأثير الحمل يخضع لنوع المادة اللدننة المستخدمة وكذلك الطاقة الحرارية المتولدة بسبب الاحتكاك بين سطح التلامس للعينة مع السطح الخشن (سطح القرص) الذي تتحرك عليه العينة وهو ما يطلق السطح البيني . وان تعليل ذلك هو حصول انفعالات قص ناتجة عن الإجهاد الضغطي بسبب تسلیط الحمل وهذه الانفعالات تسبب انتقال جزء من سطح العينة إلى سطح القرص مما يرفع من قيمة معامل الاحتكاك الذي بدوره يسبب زيادة قوة الاحتكاك والتي ينتج عنها زيادة في كمية المادة المزالة من سطح العينة الملامس لسطح القرص إلى سطح القرص نفسه . وكتنیة لسلسلة العمليات المذكورة أعلاه فإن مساحة التلامس سوف تزداد باستمرار مما يزداد معدل البلي [ Sarkar, 1980]. ويلاحظ في الشكل أيضاً إن مقاومة المادة المتراكبة للبلي أعلى من مقاومة السبيكة الأساسية حيث إن للحببات الكرافيticية القدرة على أن تعمل كمزيل بسبب خواصها الحرارية المساعدة على ذلك كالموصلية الحرارية والسعنة الحرارية النوعية التي تؤدي إلى توليد حرارة احتكاك قليلة عند السطح البيني مما يساعد على تقليل معدل البلي [ Smallman, Bishop, 1999].

**تأثير مسافة الانزلاق على معدل البلي**

يلاحظ من الشكل (3) إن معدل البلي يزداد بزيادة مسافة الانزلاق ، وفي بداية حركة القرص سوف تنتقل أجزاء صغيرة من مادة العينة إلى سطح القرص نفسه وينتتج عن ذلك التصاق هذه الأجزاء بسطح القرص مخلفة أخدود داكنة على هيئة خطوط في السطح السفلي للعينة ويتواصل الانتقال تدريجياً خشونة سطح القرص المستخدم نتيجة لملي الفجوات. علماً إن الانتقلات تحصل بشكل متقطع وغير مستمر. وبزيادة مسافة الانزلاق يزداد معدل البلي وحسبما يلاحظ في الشكل أعلاه ويمكن أن يعزى ذلك إلى زيادة قيمة الشغل المنجز من قبل قوة الاحتكاك مما يعني تحول تدريجي إلى طاقة حرارية عاملة على زيادة معدل البلي [ Halling, 1979].

**تأثير خشونة السطح على معدل البلي**

يلاحظ من الشكل (4) زيادة معدل البلي بزيادة خشونة سطح العينة والسبب في ذلك يعود إلى ان خشونة سطح القرص الدوار والتي قيمتها (1.708  $\mu\text{m}$ ) تكون أعلى من خشونة سطح العينات كافة ، ولما كان سطح القرص خشنًا فإن نتائج هذا السطح سوف تقتلع جسيمات المادة وبالتالي تزداد كمية المادة المنتقلة بسبب زيادة درجة الحرارة نتيجة الاحتكاك مما يؤدي إلى تكسر الأوصار وتوليد فجوات هوائية وهذه الأخيرة تسبب توليد الشقوق والتي ينتج عنها حصول تكوين حطام البلي [ Elmadagli, Perry and Alpas, (2007)]. والذي يمكن استنتاجه من النقصان الحاصل بكتلة العينة المختبرة وتلوّن سطح القرص بلون قريب إلى مادة العينة. إن المادة المتراكبة تبدي مقاومة بل أعلى من السبيكة الأساسية كما واضح من الشكل (4) والسبب في ذلك كما أسلفنا هو قدرة الحبيبات الكرافيticية على التزبيب والتي تؤدي إلى توليد حرارة احتكاك قليلة عند السطح البيني مما يؤدي إلى انخفاض معدل البلي.

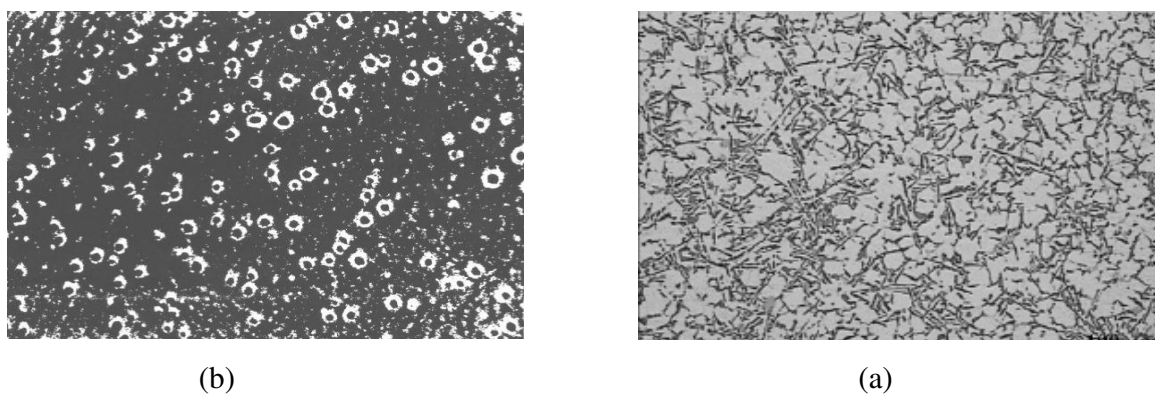
**الاستنتاجات : Conclusions**

- 1- تسخين الكرافيت وطلاءه بالنحاس وإضافة المغنيسيوم إلى السبيكة الأساسية كلها أدت إلى تحسين قابلية الترطيب.
- 2- إضافة الكرافيت إلى السبيكة الأساسية يقلل من كثافتها .
- 3- بصورة عامة مقاومة المادة المتراكبة للبلي أفضل من السبيكة الأساسية .

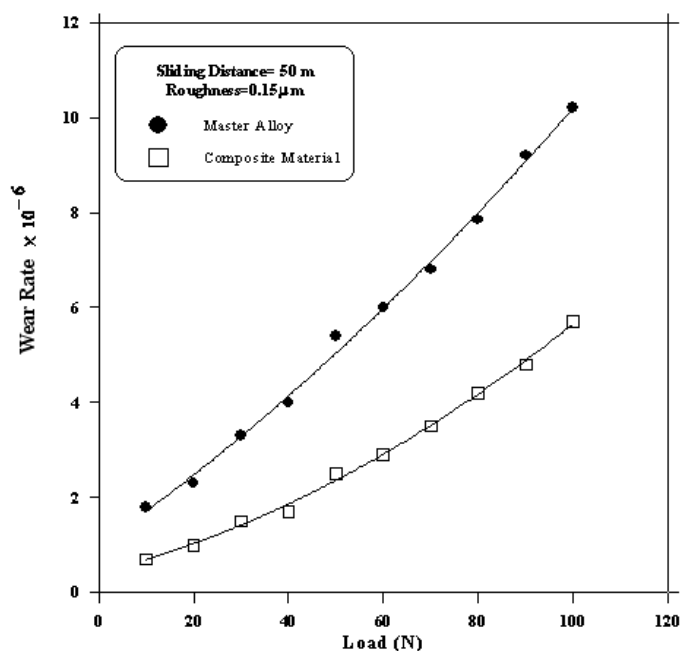
٤- الفضل في مقاومة المادة المتراكبة للبلى يعود إلى وجود حبيبات الكرافيت التي تمتلك القدرة العالية على تبريد نفسها وبصورة عامة تساهم في انخفاض معدل البلى .

### المصادر:

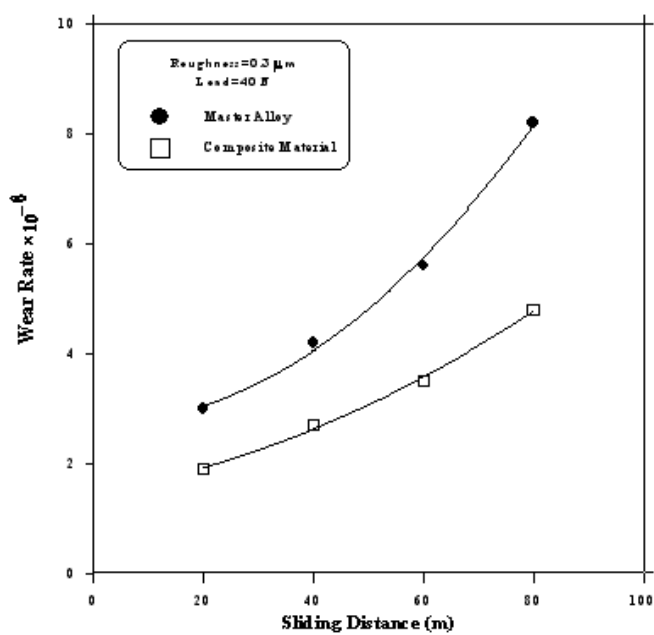
1. R.E.Smallman and B.J.Bishop,"Modern Physical Metallurgy and Materials Engineering" published by Reed Educational and Professional Ltd,1999.
2. W.Bolton, " Engineering Material Technology", third edition, Amember of Reed Elsevier group, 2002.
3. A.K.Kaw,"Mechanics of Composite Materials" published by CRC Press,2006.
4. R.M.Joues," Mechanics of Composite Materials", Scripta Book Company, Washington D. C., 1975
5. K.G. Budinski and M.K. Budinski , "Engineering Materials, Properties and Selection" published by Prentice-Hill(2005).
6. Electroplating Engineering Handbook,Vol.14,"Nonelectrolytic Metal Coating Processes" published by CBS,1987.
7. Metals Handbook, Vol. 8 , "Metallographic , Structures and Phase Diagrams", American Society for metals, Metals Park,Ohio,1973.
8. M.Elmadagli and A.T.Alpas,Wear 261(2006)367-381.
9. J.H.Al-Ammar, "Investigation the possibility of development the preparation of aluminum alloy 8009 by improving the manufacturing process, alloying elements and surface treatment, PhD thesis , University of Babylon, College of Engineering , Material Eng. Dept. 2008.
10. Ivkragelsky, M.N.Dobyezin, Vskombalov, "Friction and Wear, Calculation Methods", Translated from the Russian by Standen,1982.
11. B.P.Krishnan,M.K.Surappa and P.K.Rohatgi, Journal of Material Science 16(1981)1209-1216.
12. W.Wu and J. Beech, Journal of the Foundryman, Feb.(1990)83-88.
13. F.Delanny,L.Froyen and L.Derruyttere, Journal of Material Science 22(1987)1-16.
14. M.F.Ashby and D.R.Jones," Engineering Material, An Introduction to properties, Applications and Design" published by Elsevier Ltd 2007.
15. D.Sarkar," Friction and Wear "Academic Press Inc. (London) Ltd.,1980.
16. J.Halling, "Principle of Tribology" published by the Macmillam Press Limited, London, 1979.
17. M.Elmadagli,T.Perry and A.T.Alpas,Wear 262(2007)79-92.



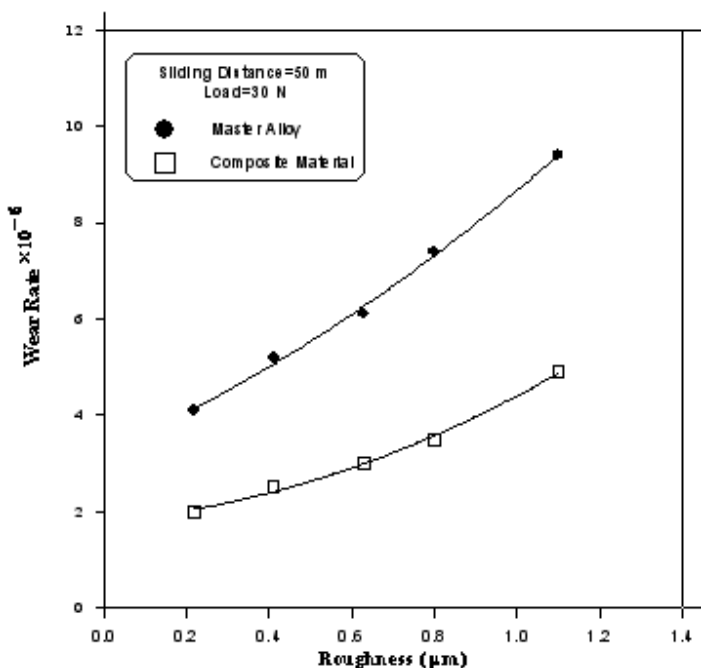
الشكل (1) البنية المجهرية للعينات (a) السبيكة الأساسية (b) المادة المترابطة



الشكل (2) العلاقة بين معدل البلى والحمل المسلط.



الشكل (3) العلاقة بين معدل البلى ومسافة الانزلاق.



الشكل (4) العلاقة بين معدل البلى وخشونة السطح.